

工业生产先进经验汇编

# 铸造技术

上海市生产技术局  
上海市第一机电工业局  
上海市科学技术协会 编

上海科学技术出版社

工业生产先进经验汇编

# 鑄造技术

上海市生产技术局

上海市第一机电工业局

上海市科学技术协会

編

上海科学技术出版社

## 內 容 提 要

本书是根据上海市热加工技术革新展览会中展出的铸造部分,选择在生产上較成熟、有推广价值的先进經驗加以系統整理汇編而成。

內容包括鑄鐵、鑄鋼、有色金属和鑄模四大部分,共有二十九篇單項經驗总结。

本书可供铸造行业的技术人員和工人参考。

## 工业生产先进經驗汇編

### 鑄 造 技 术

上海市生产技术局  
上海市第一机电工业局 编  
上海市科学技术协会

---

上海科学技术出版社出版 (上海瑞金二路 450 号)  
上海市书刊出版业营业登记证 093 号

---

上海新华印刷厂印刷 新华书店上海发行所发行

开本 850×1156 1/32 印张 9 22/32 铅版字数 256,000  
1965 年 12 月第 1 版 1966 年 3 月第 2 次印刷  
印数 3,001—15,000

统一书号 15119·1863 定价(科四) 1.10 元

## 前　　言

近年来，本市鑄造、鍛造、焊接、热处理工艺方面的广大职工，在比、学、赶、帮、超增产节约运动中，高举毛泽东思想红旗，奋发图强，自力更生，学創結合，在生产实践中創造了很多行之有效的革新經驗，迅速提高了工艺技术水平，在生产上取得比較显著的效果。

为了傳播这方面的先进經驗，举办了上海市热加工技术革新展览会。現将展览会中所展出的具有普遍推广意义的項目汇編成册，分为鑄造、鍛造、焊接和热处理四个专輯，由上海科学技术出版社出版，以供有关单位推广交流参考。

本汇編承上海市机械工程学会各有关专业学組协助审閱，特志謝忱。

由于編印时间匆促，錯誤之处，请讀者指正。

編者 一九六五年十月

# 目 录

<b>一、鑄鐵</b>	1
1. 电磁微振压实造型	1
2. 稀土鎂球墨鑄鐵	18
3. 硅鐵稀土鎂合金冲入法處理球墨鑄鐵	43
4. 珠光體可鍛鑄鐵及在農業機具上的應用研究	60
5. 冷硬軋輥的複合離心鑄造	78
6. 膨潤土活性處理	84
7. 20噸砂斗高壓吹砂裝置	113
8. 旧砂濕法再生	115
<b>二、鑄鋼</b>	126
1. 1.5噸無鐵芯工頻感應電爐	126
2. ZG 1Cr 18 Ni 9 Ti 不銹鋼返回吹氧法冶煉工藝	135
3. ZGCr 25 Ni 20 Si 2 耐熱不銹鋼返回吹氧單渣熔煉工藝	148
4. 鉻錳氮硅系新材料代替鉻錳耐熱鋼種	154
5. 电解錳滲氮工藝	170
6. 鋼液爐外真空處理	172
7. 耐熱爐底輶離心鑄造	184
8. 柴油機不銹鋼導風輪熔模鑄造	195
9. 鑄鋼件水爆清砂法	203
<b>三、有色金屬</b>	212
1. 反射式坩堝熔銅爐	212
2. 半連續鑄鋅機	214
3. 銅合金石墨型鑄造	224
4. 螺旋漿石墨型鑄造	236
5. 螺旋漿金屬型離心鑄造	239
6. 双進水葉輪離心鑄造	246

7. 鋁合金低壓鑄造.....	251
8. 真空壓鑄法.....	266
9. 真空吸鑄.....	274
10. 熔模鑄造.....	281
<b>四、鑄模 .....</b>	<b>289</b>
1. 塑料模.....	289
2. 菱苦土模型.....	300

# 一、鑄 鐵

## 1. 电磁微振压实造型

中国紡織機械廠

### (一) 概 述

本廠鑄工車間四工位造型線原來采用震擊压实造型，在造型線調整過程中，發現這種造型方法不但噪音大，而且強烈的震擊使設備上的一些元件易被振松脫落，影響到造型線的正常運轉。為此，必須改變砂型緊實的工藝方法，我們認為結合本線的特點改用微振压实的方法來緊實砂型較易實現，所以本廠與一機部鑄造鍛壓機械研究所一起，自1963年4月起開始進行試驗，先用氣動柱塞式振動器，砂型硬度不夠均勻，噪音很大；後採用電磁振動器，經過多次試驗，目前已取得一定的效果。

### (二) 試 驗 条 件

#### 1) 型砂成分和性能：

粘土含量	14~15%*
水 分	4~4.5%
湿压强度	0.95~0.98 公斤/厘米 <sup>2</sup>
透 气 性	42~48 A. F. A.

#### 2) 砂箱內尺寸(毫米)：

\* 本車間砂處理系統吸塵系統不完整，舊砂中灰分較多，粘土含量偏高。

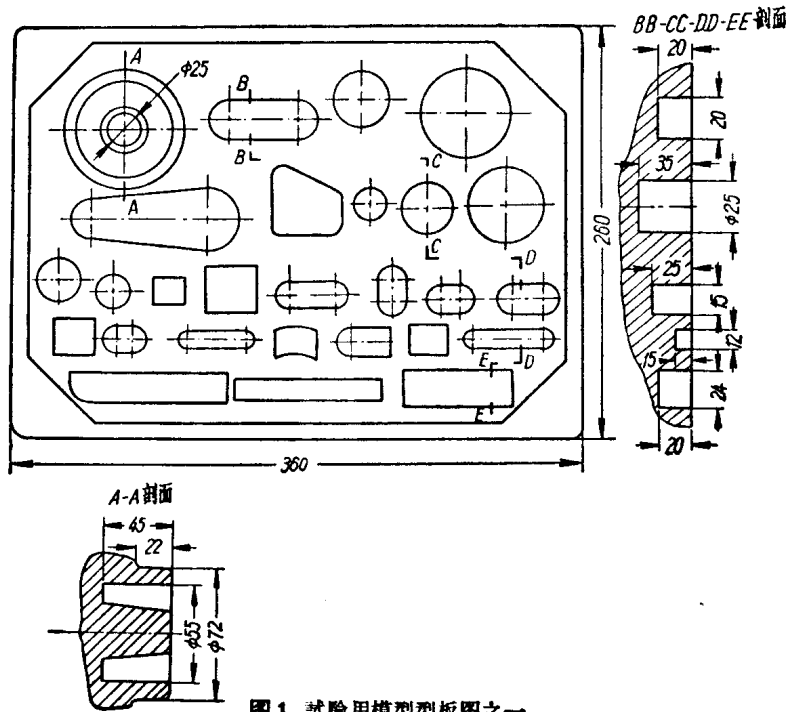


图1 試驗用模型型板图之一

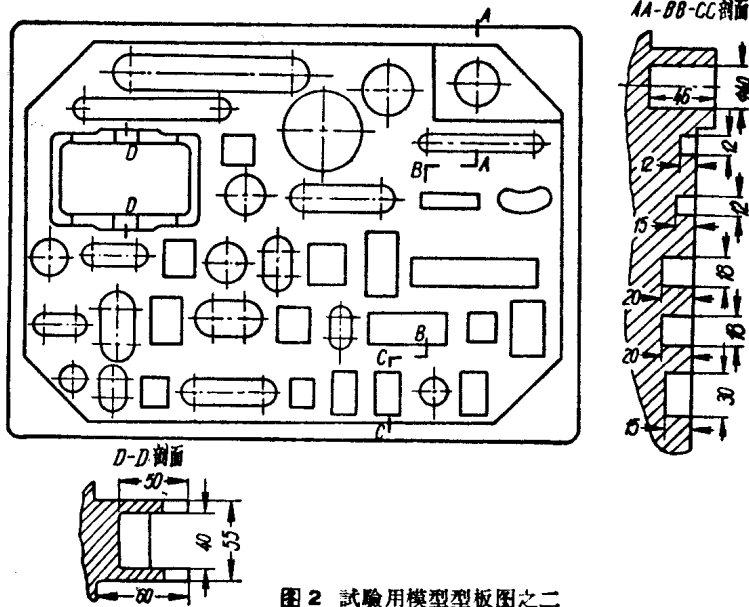


图2 試驗用模型型板图之二

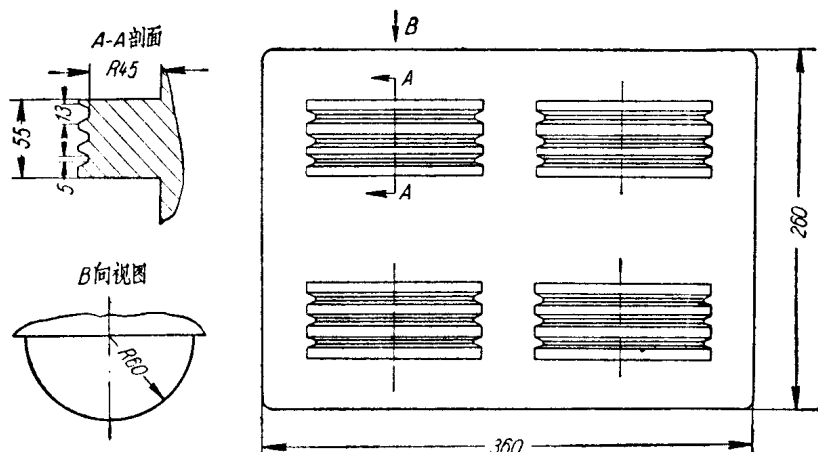


图3 皮带盘模型型板图

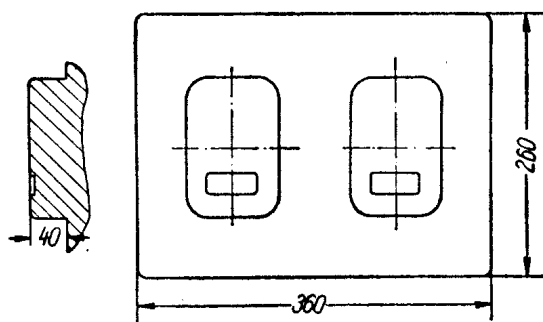


图4 重锤模型型板图

$748 \times 548 \times 150$ (下箱, 没有箱档);

$748 \times 548 \times 120$ (上箱, 没有箱档)。

3) 型板由四小块拼合而成, 有两块专供试验起模和造型质量用的(图1与图2), 另有皮带盘和重锤各一块, 其结构见图3与图4。

4) 砂箱、型板、型板底框和电磁振动器(共二只)的结构示意图见图5。

5) 在四工位造型机上进行试验, 第三工位加砂微振, 第四工位微振压实, 压实完毕后压实缸回程起模。

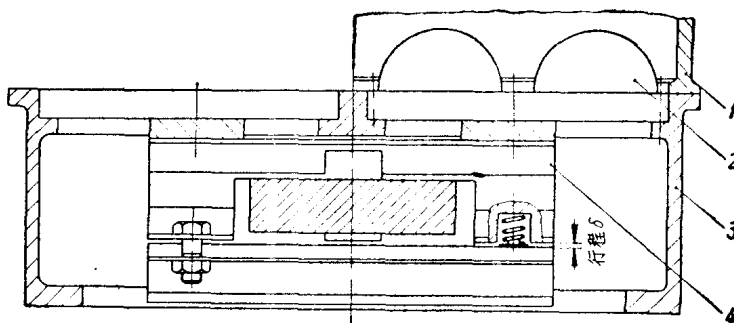


图 5 砂箱、型板、型板底框及电磁振动器装置示意图

1—砂箱； 2—型板； 3—型板底框； 4—电磁振动器

### (三) 微振压实造型与单压实及震击压实造型的比較

#### (1) 砂型硬度的比較

空气压力均为 6 大气压，微振压实造型在加砂时微振 4 秒，然后同时微振压实 3 秒；如果单压实则压实时间亦是 3 秒，在这种条件下共进行了二百余次試驗，試驗后硬度如图 6 所示。从图中可以看出，微振压实后砂型四周及垂直面上的硬度要比单压实的高 10~20 度，而砂型中间的硬度基本相同。

我们认为这是由于压实同时进行微振，不仅减少了砂粒与砂粒间的内摩擦，而且减少了砂粒与箱壁及模型壁间的外摩擦，因此产生上述現象。在单压实中砂型四周硬度偏低，所以在翻箱和运输过程中有时容易发生塌箱現象。

#### (2) 起模质量的比較

在試驗过程中采用压实完后以压实缸回程起模的方法。在单压实造型时，两块試驗用型板的模型大部分起不出来，其余起出来的部分，观察其表面发现在模型棱角处一般有毛糙及松軟等現象；采用微振压实則模型能全部起出，砂型表面光洁度亦比較高，棱角很分明。

这种复杂的模型采用单压实造型并用回程起模方法确不易起好模，在一般情况下宜采用轉台式或翻台式起模，才能保証起模质

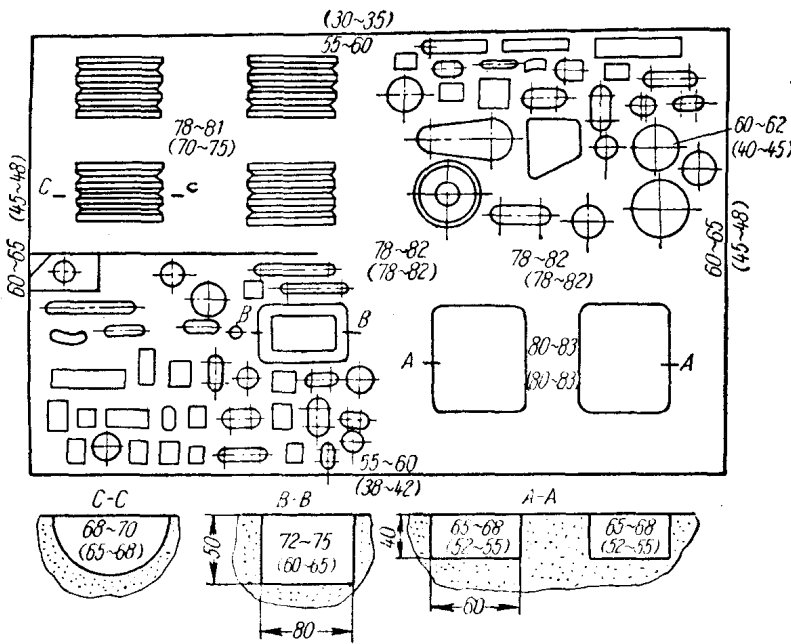


图 6 单压实与微振压实分型面和模型垂直面上砂型硬度的比較。不带括号的为微振压实硬度;带括号的为单压实硬度

量。現在采用微振压实,則能利用压实缸回程起模,并保証了起模质量。我們分析,微振提高了整个砂型平均硬度和均匀性,是一个很重要的原因;此外,起模时电磁振动器电压由 380 伏下降为 220 伏,振动較小,既帮助起型又不致把砂型振裂。

### (3) 提高了鑄件质量

对微振压实所得的砂型进行澆注,鑄件表面較光洁,且輪廓亦很分明。

### (4) 与震击压实造型的比較

由于在四工位造型机上震击有困难,所以改在 265 M 造型机上采用同样型板砂箱及型砂进行造型,震击 6 次再压实,测得分型面硬度要比微振压实的高 5~8 度,但起模质量較差,不仅試驗用模型大部分凸起砂块未起出(尤其是面積不大、凸出高度在 20 毫米以上的,全起不出来),其余起出部分棱角毛糙,更主要的是噪音

大，撞击太厉害，劳动条件很差。

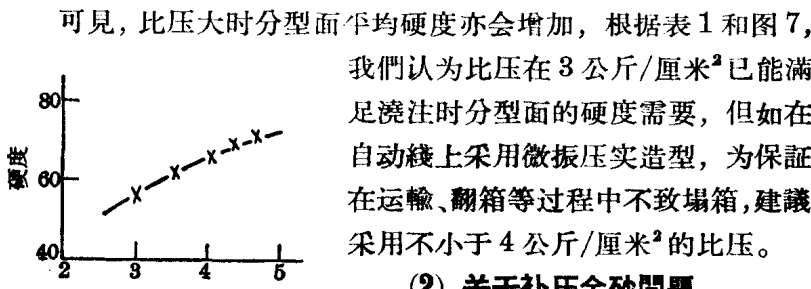
#### (四) 几个参数的探讨

##### (1) 比压問題

在一定范围内比压的大小，对砂型紧实度和均匀性是有较大影响的。我們采用压缩空气压力为6大气压、5.5大气压、5大气压、4.5大气压及4大气压，补压余砂高度均为70毫米，分别进行微振压实造型，测得砂型分型面平均硬度如表1所示。

表 1\*

比压(公斤/厘米 <sup>2</sup> )	4.5	4.25	4	3.5	3
分型面平均硬度	71	70	68.5	65	61.7



##### (2) 关于补压余砂問題

压实时补压余砂量的多少对砂型紧实度亦有一定关系，补压余砂量过多，导致砂型过硬及浪费型砂；补压余砂量不足，则砂型紧实度过低，不合造型要求。为此我們进行了試驗，把补压余砂量(以补压余砂高度表示)分成75、70、65、60、55毫米五档，通过試驗，补压余砂量在65~70毫米范围内时，砂型中間硬度为78~82；四周为55~60，說明这一余砂量較恰当。余砂量为75毫米則过多；余砂量为60、55毫米时，中間硬度为60~70，四周为45~50，說明余

\* 为了縮短造型机压实所需时间，当压实缸內压缩空气达到一定气压(亦即比压达到一定数字)时，不再保持压力，即行排气。經過試驗，如在6大气压即比压为4.5公斤/厘米<sup>2</sup>时，能再保持压力3秒钟，则分型面平均硬度为75，提高了4度；故欲使压力多保持几秒钟，则比压可采用3.5公斤/厘米<sup>2</sup>。

砂量偏少些。

### (3) 关于成形压头問題

由于模型高低不同以及砂型內摩擦阻力不一致，往往导致砂型的硬度在整个分型面上不能十分均匀，所以在压实造型中提出采用与模型輪廓相一致的成形压头，但在本綫上将对各种不同几何形状的模型进行造型，要更换压头是一件很麻烦的事，而实际上砂型硬度最低的地方大都是在箱壁附近，为此我們考慮在压头四周固定一个长方形框，如图 8 所示。試驗結果表明，砂箱四周硬度可提高 10~12 度，使砂型硬度的均匀性大为提高，所以在微振压实造型上利用这种方法来提高砂型四周硬度是可以采納的。

### (4) 振动器的吸力問題

振动器鐵芯对衔鐵的吸引力的大小是振动器主要参数之一。

假如吸引力太小則砂箱振幅亦小，砂型不易紧实；反之則振动力大，砂型虽易于紧实，但振动器上各易損零件及設備上其他有关元件易于损坏，并且噪音亦将随着增加。为此我們对振动器吸引力做了分析和試測。

从理論上來說，当綫圈接通在交流电压上时，所得作用力的瞬时值  $F_t$  不是一个常数，而是随着磁系統中磁通变化而变化。当綫圈接通在正弦电压上时，将产生一个磁通：

$$\phi_t = \phi \sin \omega t$$

则吸引力的瞬时值为

$$F_t = \frac{\phi_t^2}{q \times 5000^2} = \frac{\phi^2 \sin^2 \omega t}{q \times 5000^2} \quad (q \text{——鐵心面积})$$

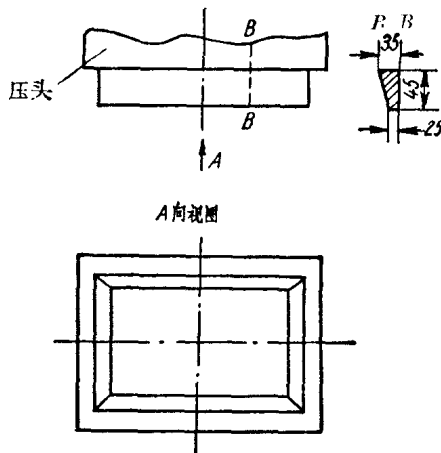


图 8 固定在压头四周的长方形框

$$\therefore \sin^2 \omega t = \frac{1}{2} (1 - \cos 2\omega t)$$

$$\therefore F_t = \frac{1}{2} \times \frac{\phi^2}{q \times 5000^2} - \frac{1}{2} \times \frac{\phi^2}{q \times 5000^2} \cos 2\omega t$$

由上式可知，吸引力的总值系以二倍的频率由零变到原值

$\left(\frac{1}{2} \times \frac{\phi^2}{q \times 5000^2}\right)$  的二倍（即当  $\omega t = \frac{\pi}{2}$  时），其波形如图 9 所示。

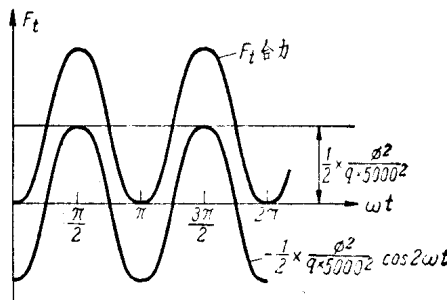


图 9 波形图

实际上由于磁通密度很大及在结构形式上考虑到振动器发热等問題，勢必有較大漏抗，計算吸力与实际吸力有較大出入，所以我們便进行实測。当接通 380 伏交流电压时，在衡鐵下面所挂重錘能被衡鐵吸得上的最大重量，我們称它为振动器吸引力。测定結果，綫圈匝数为 196 匝时吸引力为 210 公斤；225 匝时为 180 公斤，250 匝时为 145 公斤（吸鐵行程为 2 毫米）。

所测定的振动器的电流、匝数与行程的关系見表 2。

表 2

匝 数	225	196	174	225	196	174	行程：指衡 鐵与鐵芯間 的距离
电压(伏)	380	380	380	380	380	380	
行程(毫米)	2	2	2	3	3	3	
电流(安培)	7.5	10	12.5	9.5	13	17	

### (5) 关于微振振幅

微振压实造型时砂粒振幅的大小与砂型紧实度有一定关系，

振幅过小时，砂型便不易紧实；振幅过大，有很大撞击，使能量消耗及噪音都会相应增大，并且有时在砂型上还会产生裂縫，所以如何选取适当的振幅使經濟效果比較理想，是一个值得研究的問題。我們对振幅进行了多次的測定，所測定的是砂箱振幅，不是型砂振幅（測定型砂振幅还有困难），測定的方法如下：

采用如图 10 所示的測定仪器，其外形紧凑（輪廓尺寸为  $250 \times 210 \times 130$  毫米），便于装夹及换位，并且具有轉速低、能用制动調節器无級調整速度的特点，其調速範圍为 0~20 轉/分。

在大皮帶輪 6 上裝有涂色玻璃管 7，划針 8 裝于砂箱上，当微振时砂箱发生上下振动，电动机 1 通电时玻璃管 7 轉動，于是在玻璃管 7 上可看到一条清晰的波形曲綫，根据波形曲綫波峰与波谷的距离可以定出其振幅，在加砂量、电压、匝数、行程等不同的条件下所得的振幅各不相同（見表 3）。

根据多次試驗及測定結果，我們认为在第三工位上加砂微振，砂子加滿时振幅为 0.7~1.0 毫米，在第四工位上微振压实时，振幅为 0.3~0.4 毫米，已經能满足要求。这仅仅是适合于本綫条件下的試驗所得的参数，其适用范围多大尚待进一步探討。

#### (6) 关于微振頻率

微振压实时微振頻率的大小，直接影响到型砂的流动性，这說明与砂型硬度及均匀性有很大关系。电磁震动器系利用交流电正弦曲綫的电压变化規律，当在零电位时，利用彈簧作用力推开衡

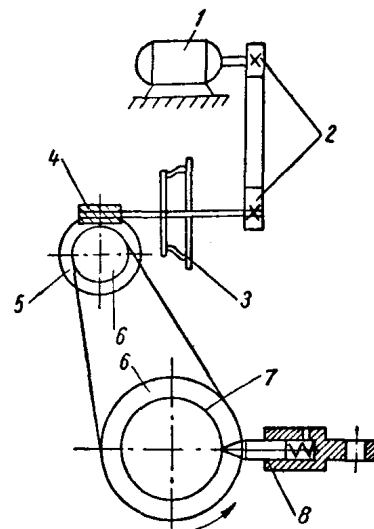


图 10 測定仪器示意图

1—电动机(110 伏, 3000 轉/分); 2、  
6—皮帶輪; 3—制动調節器; 4—蝸  
杆( $Z=1$ ); 5—蝸輪( $Z=36$ ); 7—玻  
璃管; 8—划針

表 3

試驗條件	電壓 (伏)	線圈匝數 (匝)	加砂高度 (毫米)	振動器行程 (毫米)	砂箱振幅 (毫米)
第三工位加砂微振	380	174	100	3	2.2~2.4
第三工位加砂微振	380	196	100	3	1.5~1.7
第三工位加砂微振	380	174	215	3	1.1~1.3
第三工位加砂微振	380	196	215	3	0.7~0.9
第四工位微振压实	380	174	215	3	0.3~0.4
第四工位微振压实	380	196	215	3	0.3~0.4
第四工位起模	220	174		3	0.5~0.6
第三工位加砂微振	380	225	215	2	0.9~1.0
第四工位微振压实	380	225	215	2	0.3~0.4

鐵，使在一週內銜鐵有兩次脫離鐵芯、兩次重返的機會，造成6000次/分的振動頻率，這一振動頻率根據有關文獻的介紹，是能使型砂獲得最佳流動性的微振頻率。

雖然理論上計算是6000次/分，但由於振動器上彈簧及其他元件的影響，在實際振動時能否保證每分鐘振動6000次是值得懷疑的，為此我們進行了實測。

我們採用8線示波器和動態應變儀按圖11接線來測定頻率。

由於彈簧片一端固定在砂箱上，另一端固定在剛性機架上，在砂箱振動時強迫彈簧片發生同一頻率的振動，則貼在彈簧片上的

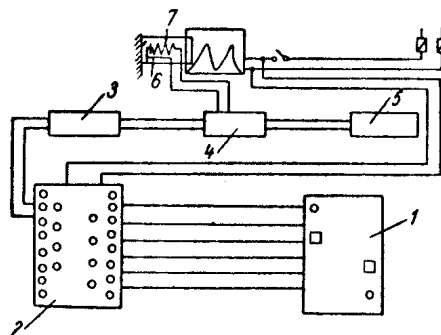
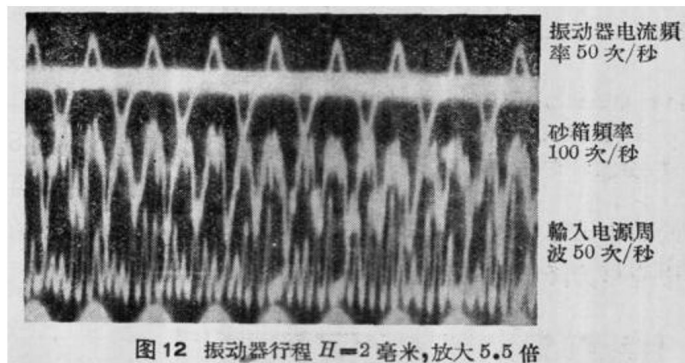


圖11 用8線示波器及動態應變儀來測定微振頻率的接線示意圖

1—8線示波器； 2—變阻箱； 3—自動記錄儀； 4—放大器；  
5—電源箱； 6—彈簧片； 7—電阻片

电阻片相应地变形，导致电阻发生一个  $\Delta\gamma$  的增量，通过电阻片的电流亦有一相应的改变，经动态应变仪放大讯号，在 8 线示波器上自动拍下照来，由照片证明微振频率为 6000 次/分（图 12）。



### （7）振动加速度

根据多次试验，认为砂粒的振动加速度  $\nu$  在加砂微振时只要大于 0.6 重力加速度 ( $g$ )，微振压实时只要大于  $0.25g$  就能满足紧实型砂的需要，现根据我们测得的频率  $f$  和振幅  $A$  计算如下：

参见表 3，当匝数为 225 匝，行程  $\delta=2$  毫米，振幅  $A_3=0.9 \sim 1.0$ （加砂微振时）， $A_4=0.3 \sim 0.4$ （微振压实时）， $f=100$  次/秒，则

$$\nu_3 = A_3 f^2 = (0.9 \sim 1.0) \times (100)^2 \approx (0.9 \sim 1.0) g > 0.6g$$

$$\nu_4 = A_4 f^2 = (0.3 \sim 0.4) \times (100)^2 \approx (0.3 \sim 0.4) g > 0.25g$$

所以是可以用的。

## （五）电磁振动器在结构上和使用上的几个问题

### （1）结构简介

电磁振动器类似一般的电磁铁，为适合造型时微振的需要，适当考虑振动器的几何形状及其尺寸是很必要的。

如图 13 所示，撞击行程  $\delta$  与振动力大小有关， $\delta$  太小则振动力小， $\delta$  太大则弹簧易于损坏，所以合理选取  $\delta$  值很重要，根据我们试验结果，认为可以考虑采用  $\delta=2 \sim 3$  毫米。